# ТРИБОЛОГИЧЕСКИЕ СВОЙСТВА ГРАДИЕНТНЫХ ПОКРЫТИЙ Ti-Cr-N

В.М.Анищик<sup>1)</sup>, С.В.Злоцкий<sup>1)</sup>, Р. Konarski<sup>2)</sup>, Сz. Kiliszek<sup>2)</sup>

<sup>1)</sup>Белорусский государственный университет, 220050, г. Минск, пр. Ф. Скорины, 4. Тел. (017)

209-55-12, факс (017) 209-55-12, e-mail: uglov@bsu.by

<sup>2)</sup>Industrial Institute of Electronics, 00-241, Poland, Warszawa, 44/50 Dluga St. Tel. (+48 22) 831-52-21 ext. 285, fax (+48 22) 831-21-60, e-mail: pkonarsk@warman.com.pl

Работа посвящена изучению трибологических свойств и элементного состава градиентных покрытий Ti-Cr-N. Формируемые при совмещении плазменных потоков методом КИБ покрытия представляют собой градиентные системы Ti-Cr-N, Ti-N и Cr-N с переменной концентрацией Ti и Cr по глубине. Установлены основные закономерности влияния элементного состава и градиентной структуры на трибологические свойства покрытий.

#### Введение

Тройные покрытия на основе переходных металлов в настоящее время вызывают большой интерес для получения структур с различными механическими свойствами. Разнообразие процессов кристаллизации и возможность изменения элементного и фазового состава по толщине растущего слоя при использовании физических методов осаждения позволяет получить оптимальные характеристики защитных покрытий: высокую твердость, износо- и коррозионную стойкость [1]. К наиболее износостойким следует отнести тройные нитридные системы на основе Сг, такие как (Ti,Cr)N [2], (Cr,Al)N [3] и (Cr,Ta)N [4], в связи с хорошей износостойкостью нитрида хрома. Однако непосредственное напыление стехиометрических составов соответствующих нитридов на поверхность подложки уменьшает адгезионную прочность благодаря их высокой хрупкости и сжимающим напряжениям [5]. Переход от тройных нитридных систем с постоянным составом к системам с переменной концентрацией элементов, как на межфазной границе, так и внутри покрытия представляют интерес в связи со значительным улучшением адгезионных и трибологических свойств[6]. Покрытия переменного состава, в которых концентрация основных элементов изменяется (возрастает или убывает) с глубиной, получили название градиентных покрытий [5,6,7].

В связи с этим целью данной работы является исследование элементного состава и трибологических свойств градиентных покрытий T-Cr-N, сформированных при совмещении плазменных потоков различной плотности.

## Методика эксперимента

Градиентные покрытия синтезировались методом конденсации из плазменной фазы в вакууме с ионной бомбардировкой поверхностей образцов (КИБ) [8] при совмещении плазменных потоков титана и хрома в остаточной атмосфере азота. В качестве подложки использовалась углеродистая сталь УВА (0,8 вес.% С, 0,5 вес.% Si, 0,23 вес.% Мп, 0,15 вес. % Сг). Перед осаждением поверхность подложек обрабатывалась ионами Сг в течение одной минуты при отрицательном потенциале подложки 1 кВ, токе горения дуги хромового катода 100 А и давлении в камере 10-3 Па. Градиентные покрытия Ti-Cr-N, Ti-N и Cr-N

формировали при изменении токов горения дуги хромового и титанового катодов, постоянном давлении газа азота в вакуумной камере  $10^{-1}$  Па и опорном напряжении — 120 В. Толщина сформированных покрытий составила около 0,8 мкм.

Элементный состав градиентных покрытий определялся методом вторично ионной масс-спектроскопии (ВИМС). Расчет распределения элементов в покрытиях осуществлялся по концентрационным профилям, полученным с использованием масс-спектрометра SAJW-05. Энергия первичного пучка ионов аргона составляла 5 кэВ.

Трибологические испытания по методу "индентор-поверхность" проводились на трибометре ТАУ-1М в условиях сухого трения. Скорость движения столика с образцом составляла 4 мм/с, закругленный индентор с радиусом закругления 0.5мм был выполнен из твердого сплава ВК8 (состав: 92% WC, 8% Со, твердость 87.5 HRC), нагрузка при испытаниях составляла 1H. Исследование характера треков с помощью оптического микроскопа позволяло качественно характеризовать степень и механизм износа.

## Результаты и обсуждение

Данные ВИМС свидетельствуют о формировании градиентных по составу покрытий Ti-Cr-N, Ti-N и Cr-N. На рис.1 показана зависимость ионного тока Ti'. Cr<sup>†</sup>, N<sup>†</sup> и Fe<sup>†</sup> от глубины. Как видно, с увеличением глубины проникновения происхо-

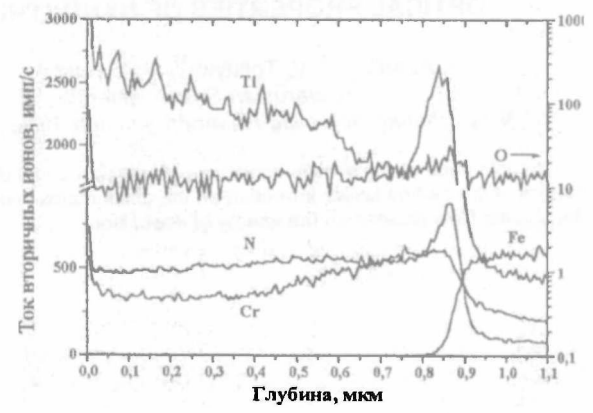


Рис.1. Изменение токов вторичных ионов Ti\*, Cr\*, N\* и Fe\* с глубиной

дит уменьшение титанового и повышение хромового тока вторичных ионов (ТВИ). При этом ТВИ азота остается постоянным. Это свидетельствует о том, что в формируемой градиентной системе Ti-Cr-N с ростом толщины покрытия концентрация титана возрастает, а хрома падает. При чем концентрация азота остается постоянной.

На границе покрытие-подлжка наблюдается повышение тока ионов титана и хрома (рис. 1). Повышение тока вторичных ионов Сг<sup>+</sup> свидетельствует о формировании переходного хромового слоя. А рост ТВИ титана обусловлен более высоким значением коэффициента вторичной эмиссии атомов Ті<sup>+</sup>. Повышение эмиссии ионов титана связано с увеличением концентрации оксида титана [9], который формируется на начальном этапе осаждения покрытия. Повышение концентрации ионов О на границе подложки представлено на рис. 1 в виде небольшого увеличения тока вторичных ионов кислорода.

На рис.2. представлена зависимость коэффициента трения для покрытий градиентных и постоянного состава от числа циклов трения.

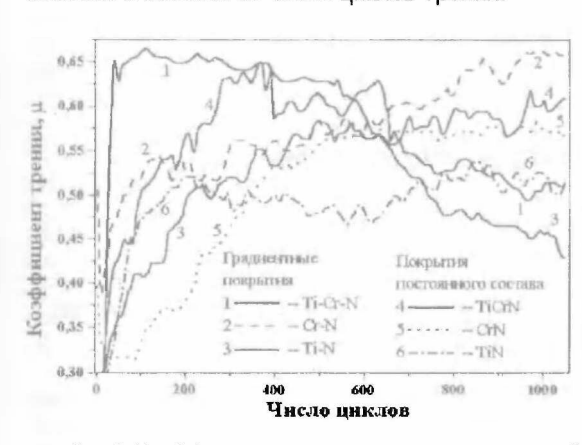


Рис.2. Коэффициент трения градиентных покрытий и покрытий постоянного состава

Коэффициент трения (µ) для градиентных покрытий изменяется при увеличении числа циклов трения, что говорит о формировании неоднородной по глубине структуры покрытий. Причем для двойных градиентных систем Ті-N и Сг-N при увеличении числа циклов трения происходит рост µ, который для Ті-N он достигает максимума (0,70), а затем уменьшается до 0,43. Коэффициент трения для Сг-N продолжает расти и достигает 0,66. В тоже время µ для тройной градиентной системы Ті-Сг-N изначально показывает высокое значение (около 0,65), а в процессе испытания уменьшается до 0,51.

Для покрытий постоянного состава коэффициент трения покрытия TiCrN превышает значения для нитридов титана и хрома (0,60 и 0,52, 0,57, соответственно).

На рис.3-5 представлены треки износа градиентных покрытий Ti-Cr-N, Cr-N и Ti-N.

Треки износа покрытия Ti-Cr-N и Ti-N гладкие без сильных царапин, причем ширина трека для двойной нитридной системы больше, чем для тройной. При этом, для градиентного покрытия Cr-N наблюдаются два трека износа: широкий

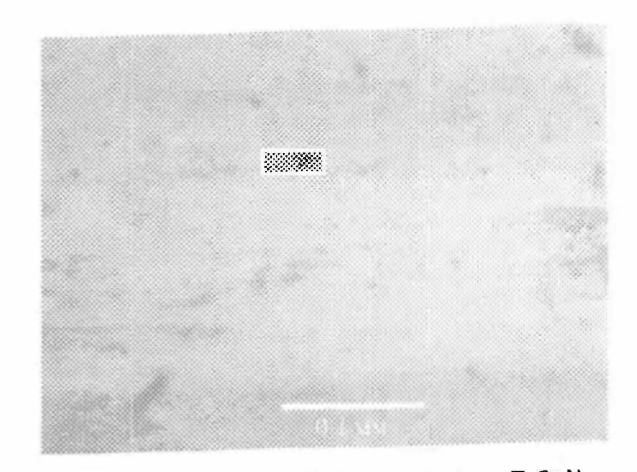


Рис.3. Трек износа в градиентном покрытии Ti-Cr-N

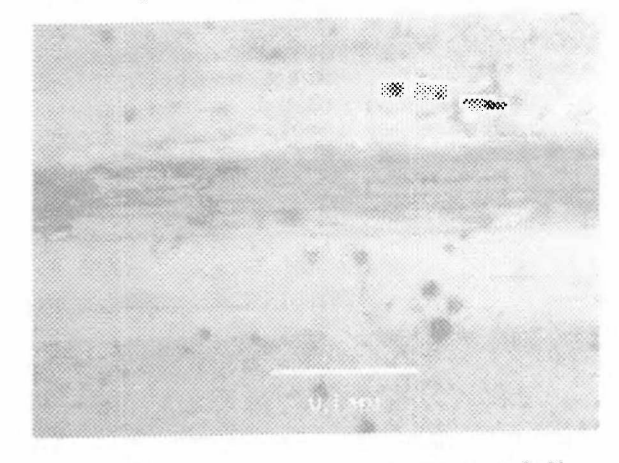


Рис.4. Трек износа в градиентном покрытии Cr-N

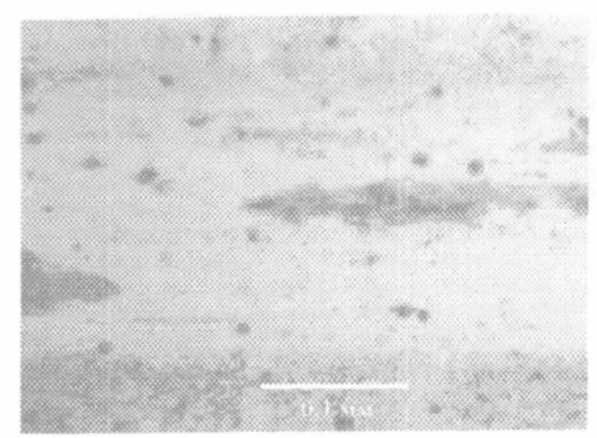


Рис.5. Трек износа в градиентном покрытии Ti-N

трек и внутри его узкий с ярко выраженными царапинами (рис. 4). Для покрытия постоянного состава CrN трек износа имеет подобную структуру. Причем ширина треков износа градиентных покрытий меньше, чем для покрытий постоянного состава.

Таким образом, для градиентных покрытий, содержащих титан, коэффициент трения имеет меньшее значение, а ширина трека износа большее, чем для покрытия Cr-N. Причем коэффициент трения для покрытий Ti-Cr-N и Ti-N уменьшается с увеличением циклов трения, а для Cr-N возрастает.

По-видимому, такое поведение коэффициента трения и ширины трека износа связано с реакцией TiN с кислородом и формированием в треке оксида титана [10]. В процессе интенсивного трения выделяющаяся тепловая энергия приводит к окислению покрытия, что в свою очередь уменьшает его твердость, адгезию и износостойкость. В хром содержащих покрытиях, реакция спадает и останавливается благодаря образованию слоя оксида хрома, который защищает поверхность. Поэтому в системе Ті-Сг-N износ меньше, чем в двойной Ti-N.

### Заключение

Методом вакуумно-дугового осаждения сформированы градиентные покрытия Ti-Cr-N, Cr-N и Ti-N с переменной концентрации элементов Ti и Ст. При этом с ростом толщины покрытий концентрация титана возрастает, а хрома падает.

Коэффициента трения градиентной системы Ti-Cr-N меньше, чем для покрытия постоянного состава TiCrN.

Градиентные системы Ti-Cr-N, Ti-N и Cr-N показывают большую износостойкость в сравнении с покрытиями постоянного состава.

#### Список литературы

- Knotek O., Loffler F., Kramer G. // Surface and Coatings Technology. - 1993. - V.59. - P.14.
- Hones P., Sanjines R., Levy F. // Thin Solid Films. 1998. V. 332. P.240.
- Lin R. Y., Pakala M. // Surface and Coatings Technology. - 1996. - V. 81. - P.233.
- Saha R., Inturi R. B., Barnard J. A. // Surface and Coatings Technology. 1996. V. 82. P.42.

  Wen F., Dai H., Huang N., Sun H, Leng Y. X., Chu P.

  K. // Surface and Coatings Technology. 2002. V. 156. - P.208.
- Jehn H. A. II Surface and Coatings Technology. 2000. V.131. P.433.
- Zeng Xianting, Zhang Sam, Hsieh Joe II Surface and
- Coatings Technology. 1998. V. 102. P.108. Khadasevich V.V., Solodukhin I.A., Uglov V.V., Hartmann J., Hammerl V., Rauscherbach B. // // Surface and Coatings Technology. 1998. V. -98. Р.1433. Черелин В.Т. Ионный зонд. Киев: Наук. думка,
- 1981. 328 c.
- Zeng W.H., Hsieh J.H. II Surface and Coatings Technology. 2000. V. 130. P.240.

## TRIBOLOGICAL PROPERTIES OF Ti-Cr-N GRADED FILMS

V.M.Anishchik 1), S.V.Zlotski1), P. Konarski2), Cz. Kiliszek2) <sup>1)</sup>Belarussian State University, 220050 Minsk, F.Skorina av. 4. Tei. (017) 209-55-12, fax (017) 226-55-52, e-mail: uglov@bsu.by <sup>2)</sup>Industrial Institute of Electronics, 00-241, Poland, Warszawa, 44/50 Dluga St. Tel. (+48 22) 831-52-21 ext. 285, fax (+48 22) 831-21-60, e-mail: pkonarsk@warman.com.pl

Ti-Cr-N coatings are formed by condensation method from a plasma phase in a vacuum by ion bombardment of sample surfaces with combined Ti and Cr plasma flows in a residual nitrogen atmosphere. The coatings Ti-Cr-N, Ti-N и Cr-N represent the graded composition structure with variable concentration of elements on depth. The interdependence of element composition and graded structure with tribological properties of coatings is established.